

# Capítulo 10

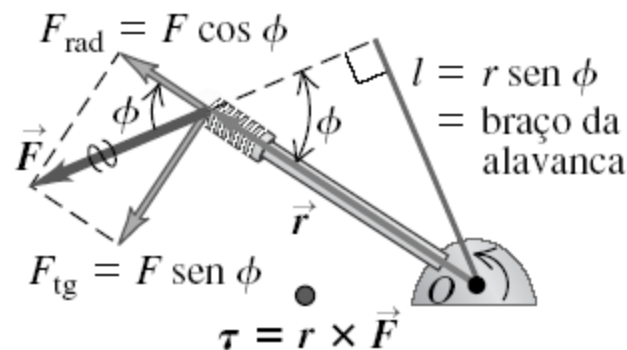
---

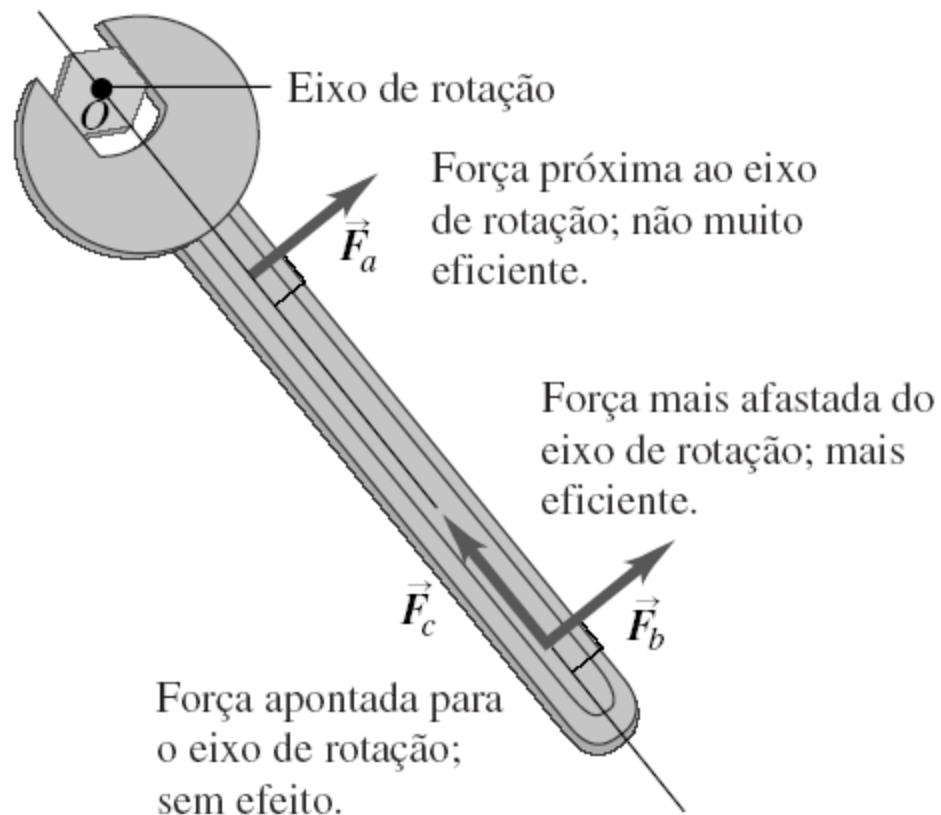
## Dinâmica do Movimento de Rotação

**Torque:** quando uma força  $\vec{F}$  atua sobre um corpo, o torque  $\vec{\tau}$  dessa força em relação a um ponto  $O$  possui um módulo dado pelo produto do módulo de força  $F$  e o braço da alavanca  $l$ . De acordo com uma definição generalizada, o vetor torque  $\vec{\tau}$  é igual ao produto vetorial de  $\vec{r}$  (o vetor posição do ponto em que a força atua) por  $\vec{F}$ .

$$\tau = Fl \quad (10.2)$$

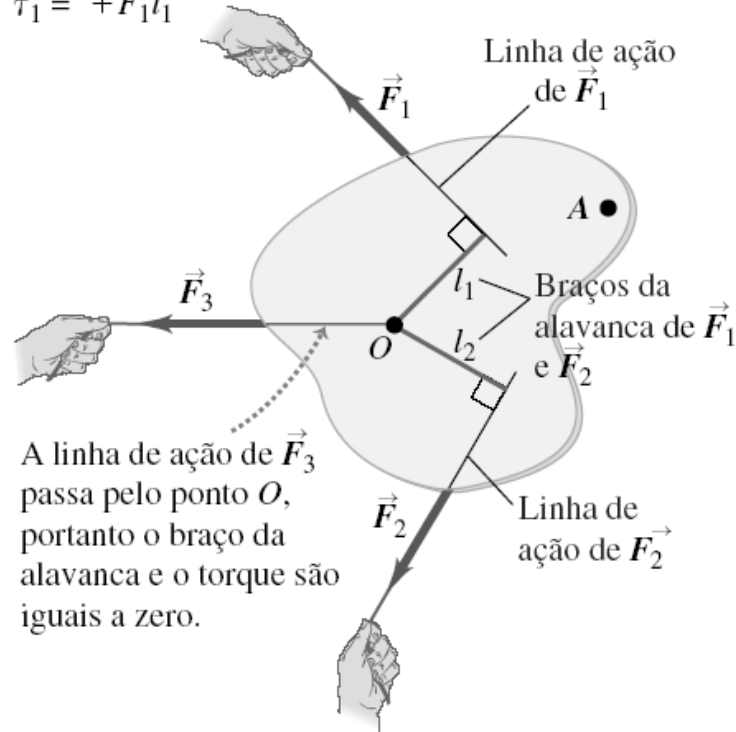
$$\vec{\tau} = \vec{r} \times \vec{F} \quad (10.3)$$





**Figura 10.1** Qual das três forças indicadas é mais eficiente para afrouxar a porca presa firmemente?

$\vec{F}_1$  tende a causar rotação no *sentido contrário ao dos ponteiros do relógio* em relação ao ponto  $O$ , portanto seu torque é *positivo*:  
 $\tau_1 = +F_1 l_1$



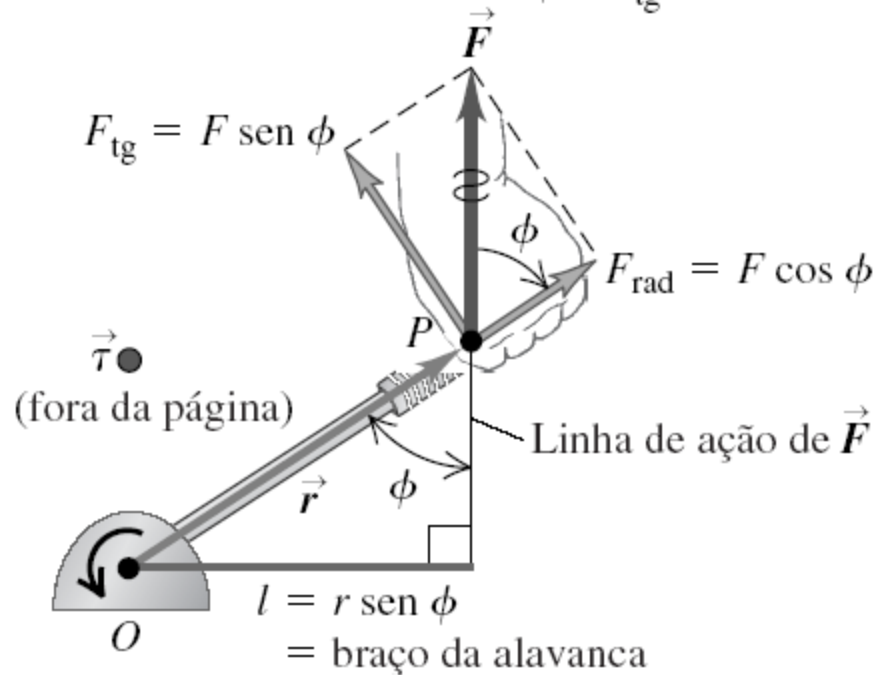
A linha de ação de  $\vec{F}_3$  passa pelo ponto  $O$ , portanto o braço da alavanca e o torque são iguais a zero.

$\vec{F}_2$  tende a causar rotação no *sentido horário dos ponteiros do relógio* em relação ao ponto  $O$ , portanto seu torque é *negativo*:  $\tau_2 = -F_2 l_2$

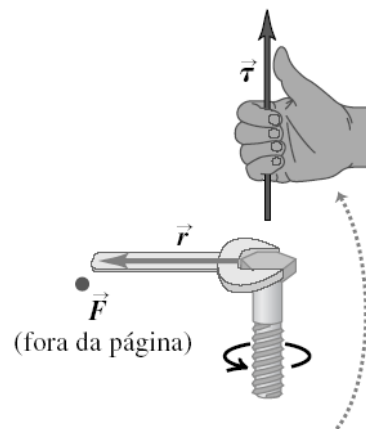
**Figura 10.2** O torque de uma força em relação a um ponto é o produto do módulo da força pelo braço da alavanca.

Três formas de calcular o torque:

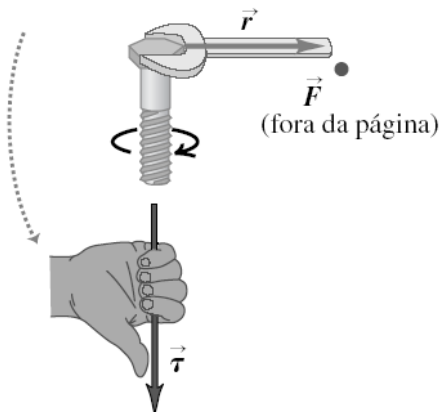
$$\tau = Fl = rF \sin \phi = F_{\text{tg}} r.$$



**Figura 10.3** Três formas de calcular o torque da força  $\vec{F}$  em torno do ponto  $O$ . Nesta Figura,  $\vec{r}$  e  $\vec{F}$  estão no plano da página e o vetor torque  $\vec{\tau}$  aponta para fora da página e em direção a você.

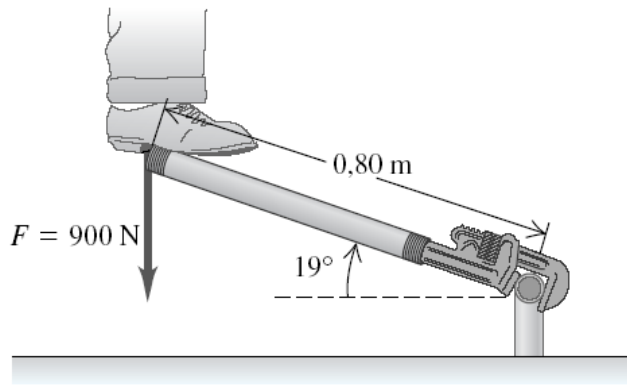


Se você apontar os dedos da sua mão direita na direção de  $\vec{r}$  e a seguir encurvá-los na direção de  $\vec{F}$ , seu polegar estendido apontará na direção de  $\vec{\tau}$ .

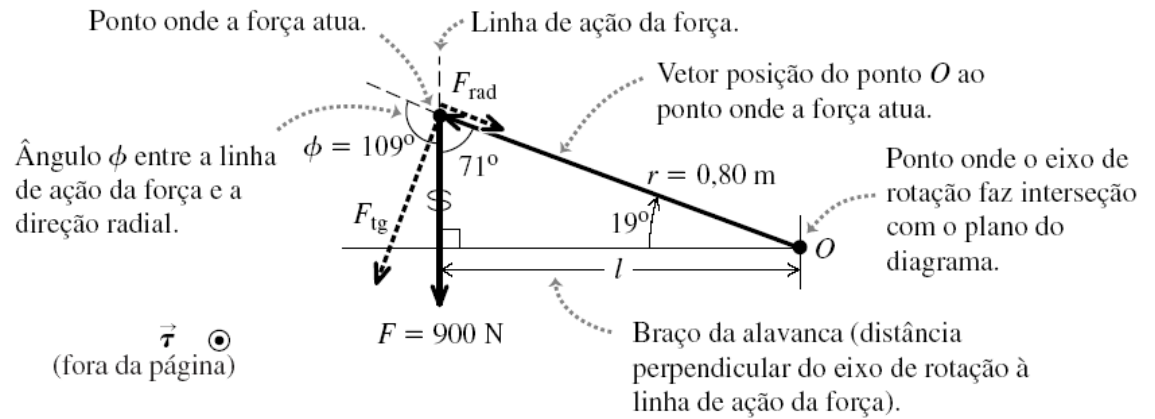


**Figura 10.4** O vetor torque  $\vec{\tau} = \vec{r} \times \vec{F}$  aponta na direção ao longo do eixo do parafuso, perpendicular tanto a  $\vec{r}$  quanto a  $\vec{F}$ . Os dedos da mão direita se encurvam na direção da rotação que o torque tende a causar.

(a) Diagrama da situação.



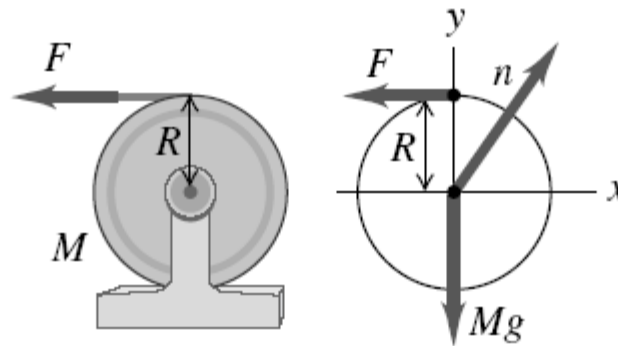
(b) Diagrama do corpo livre.

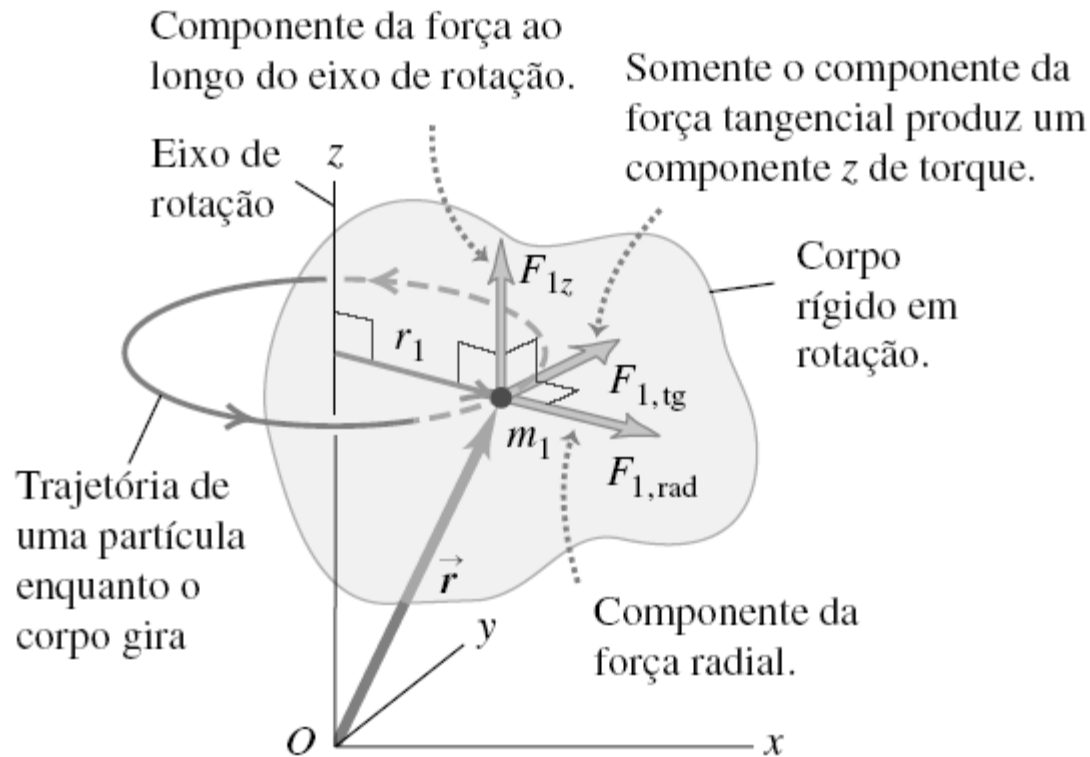


**Figura 10.5** (a) Um bombeiro hidráulico tenta afrouxar a conexão de um tubo ficando em pé na extremidade de uma 'alavanca'. (b) Diagrama vetorial para achar o torque em torno de  $O$ .

**Dinâmica da rotação:** o análogo rotacional da segunda lei de Newton diz que o torque resultante que atua sobre um corpo é igual ao produto do momento de inércia do corpo pela sua aceleração angular.

$$\sum \tau_z = I\alpha_z \quad (10.7)$$

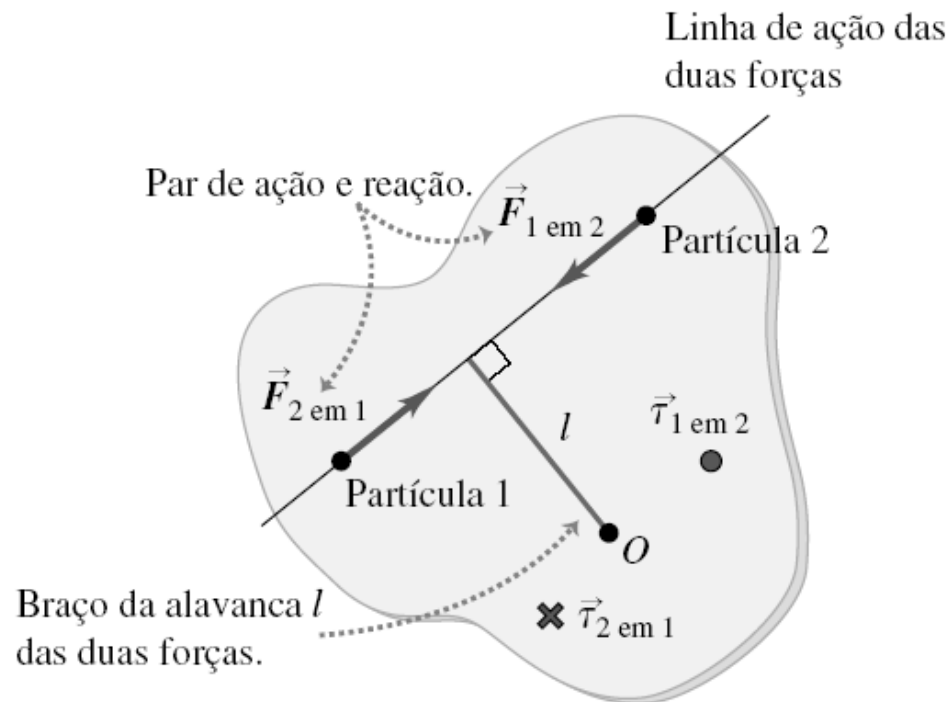




**Figura 10.6** Enquanto um corpo rígido gira em torno do eixo  $z$ , uma força resultante  $\vec{F}_1$  atua sobre uma partícula do corpo. Somente o componente da força  $F_{1,tg}$  pode afetar a rotação, porque somente ele exerce um torque em torno de  $O$  com um componente  $z$  (ao longo do eixo de rotação).



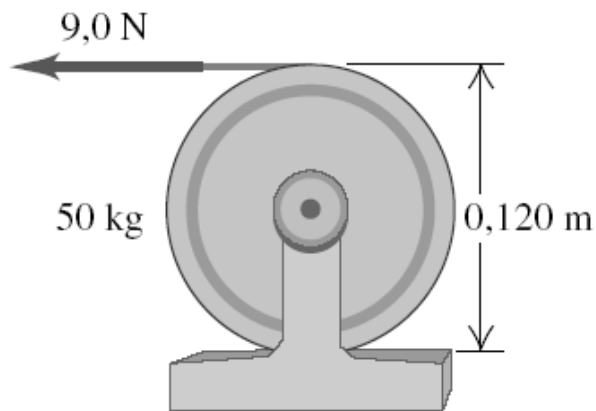
**Figura 10.7** Para afrouxar ou apertar um parafuso é necessário fornecer a ele uma aceleração angular e, portanto, aplicar um torque. Essa tarefa é facilitada usando-se uma chave de fenda com um punho com raio grande, para que o braço da alavanca da força que você aplica com a sua mão seja maior.



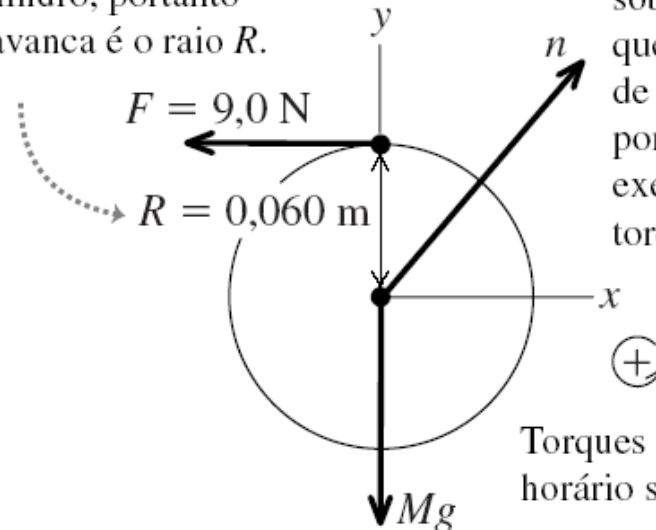
Os torques se anulam:  $\tau_{1 \text{ em } 2} = +Fl$ ;  $\tau_{2 \text{ em } 1} = -Fl$ .

**Figura 10.8** A partícula 1 e a partícula 2 de um corpo rígido exercem entre si forças iguais e contrárias. Se essas forças atuam ao longo da linha que une as duas partículas, os braços das alavancas são iguais e os torques dessas forças são iguais e contrários. Somente torques de forças *externas* alteram o movimento de rotação de um corpo rígido.

(a)



(b)  
 $F$  atua tangencialmente à superfície do cilindro, portanto seu braço da alavanca é o raio  $R$ .

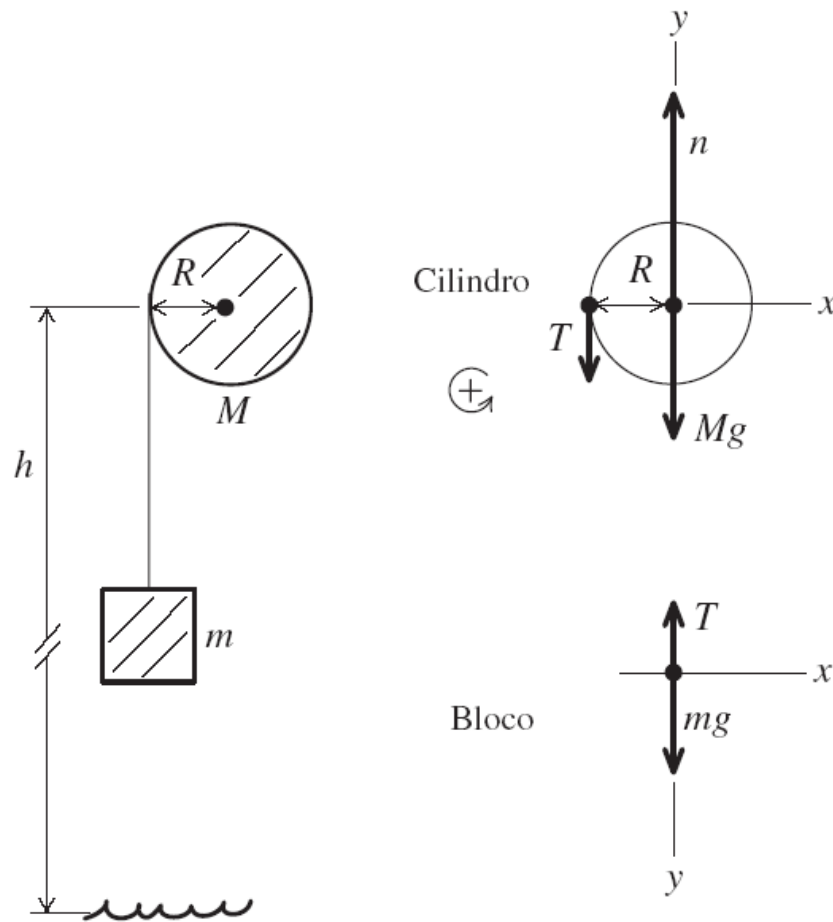


O peso e a força normal atuam sobre uma linha que corta o eixo de rotação, portanto eles não exercem nenhum torque.

Torques no sentido anti-horário são positivos.

**Figura 10.9** (a) Cilindro e cabo. (b) Diagrama do corpo livre do cilindro.

(a) Diagrama da situação. (b) Diagramas do corpo livre.



**Figura 10.10** (a) Diagrama da situação. (b) Diagramas do corpo livre para o cilindro e para o bloco. O cabo possui massa desprezível.

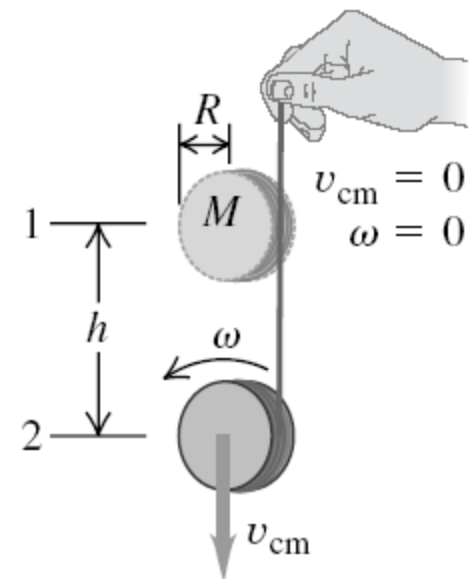
**Movimento combinado de translação e rotação:** quando um corpo rígido possui simultaneamente movimento de rotação e movimento de translação, a energia cinética pode ser expressa como a soma da energia cinética da translação do centro de massa e da energia cinética da rotação em torno de um eixo passando pelo centro de massa. Em termos da dinâmica, a segunda lei de Newton descreve o movimento do centro de massa, e o equivalente rotacional da segunda lei de Newton descreve a rotação em torno do centro de massa. No caso do rolamento sem deslizamento, há uma relação especial entre o movimento do centro de massa e o movimento de rotação.

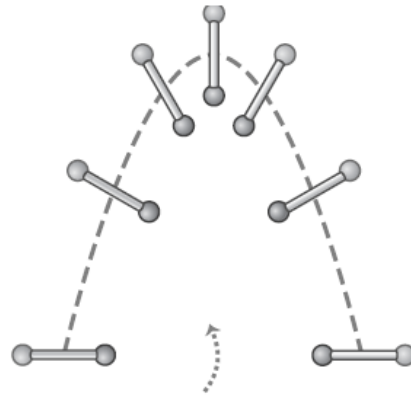
$$K = \frac{1}{2}Mv_{\text{cm}}^2 + \frac{1}{2}I_{\text{cm}}\omega^2$$

$$\sum \vec{F}_{\text{ext}} = M\vec{a}_{\text{cm}}$$

$$\sum \tau_z = I_{\text{cm}}\alpha_z$$

$$v_{\text{cm}} = R\omega$$

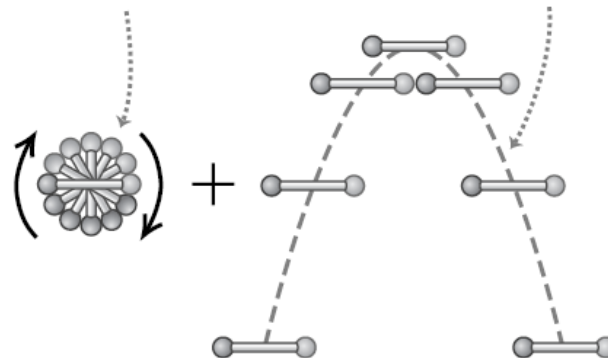




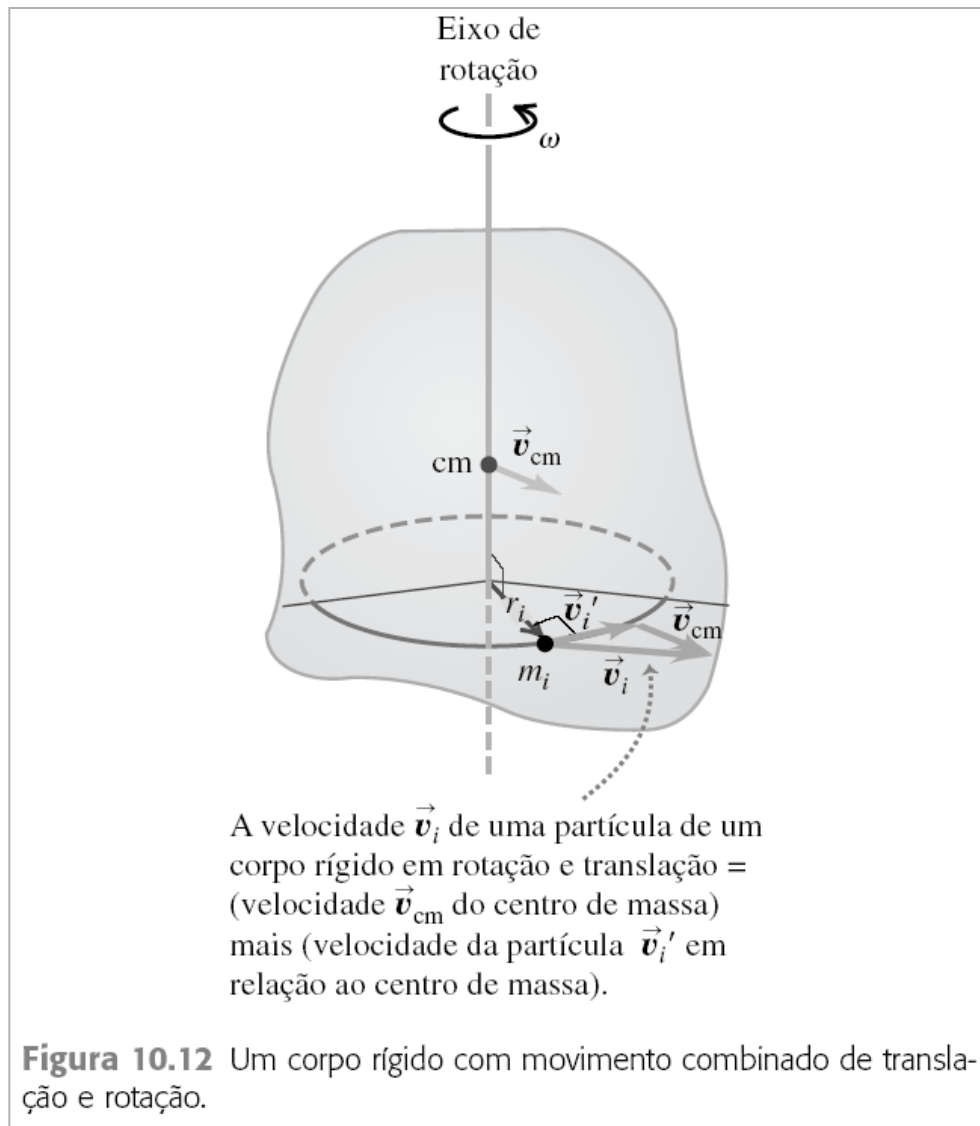
O movimento deste bastão pode ser representado como uma combinação de...

... **rotação** em torno do centro de massa ...

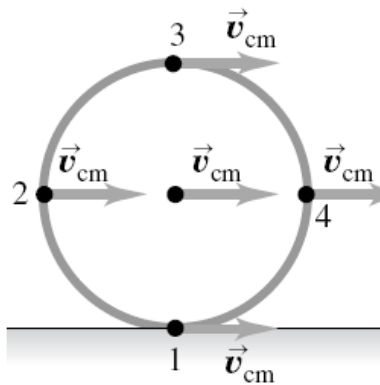
... mais **translação** do centro de massa.



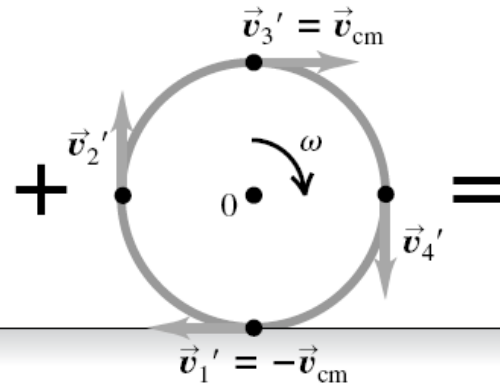
**Figura 10.11** O movimento de um corpo rígido é a combinação do movimento translacional do centro de massa e de rotação em torno do centro de massa.



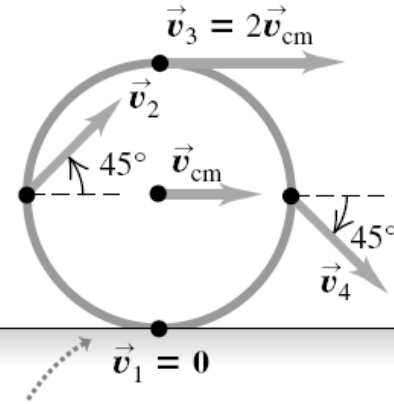
A translação do centro de massa da roda: velocidade  $\vec{v}_{cm}$ .



A rotação da roda em torno do centro de massa: para rolamento sem deslizamento, a velocidade escalar na periferia deve ser  $v_{cm}$ .



Movimento combinado de translação e rotação: rolamento sem deslizamento.

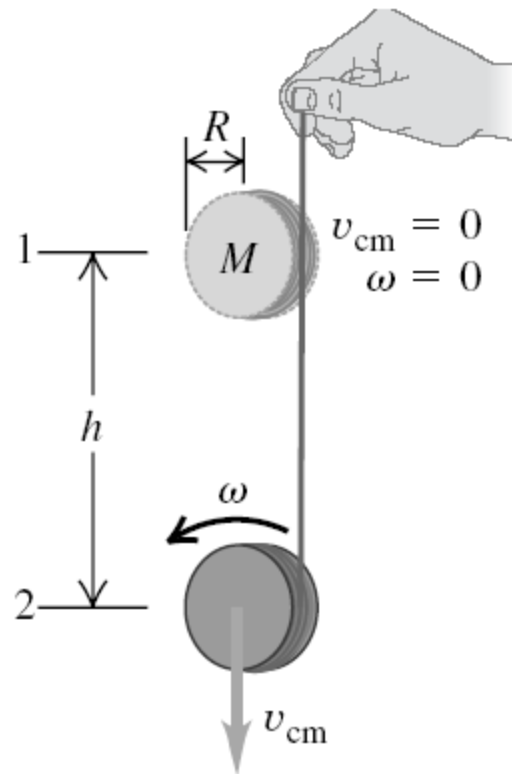


A roda fica instantaneamente em repouso quando entra em contato com o solo.

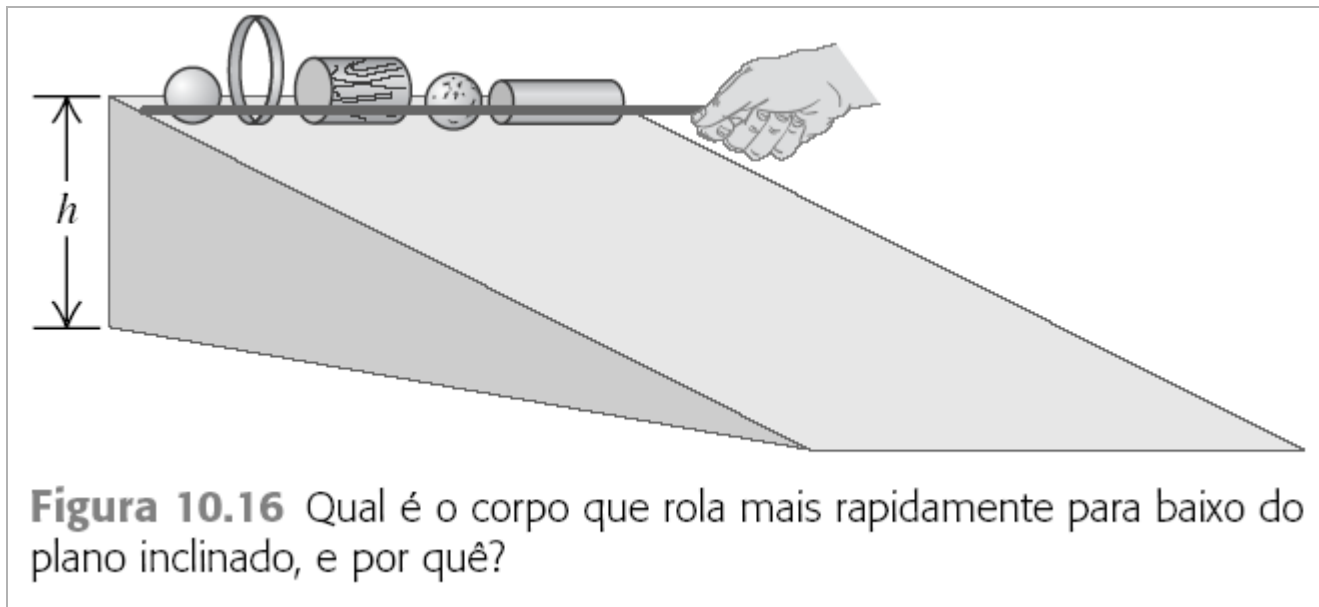
**Figura 10.13** O movimento de uma roda que gira é a soma do movimento de translação do centro de massa mais o movimento de rotação da roda em torno do centro de massa.



**Figura 10.14** A fumaça provocada pelos pneus traseiros deste carro de corrida indica que os pneus estão deslizando sobre o piso, de modo que  $v_{cm}$  não é igual a  $R\omega$ .



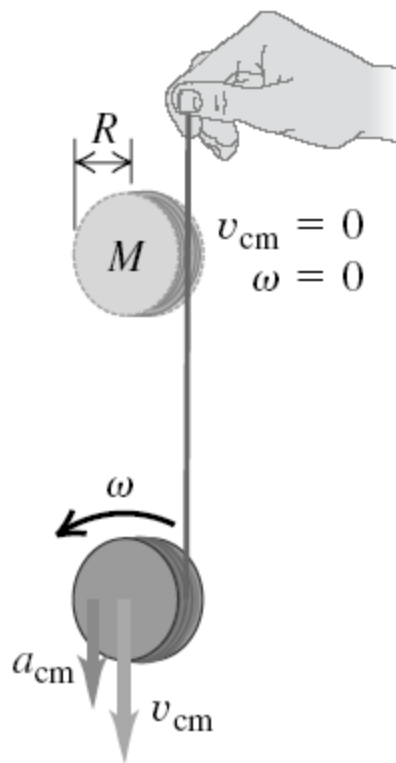
**Figura 10.15** Cálculo da velocidade de um ioiô primitivo.



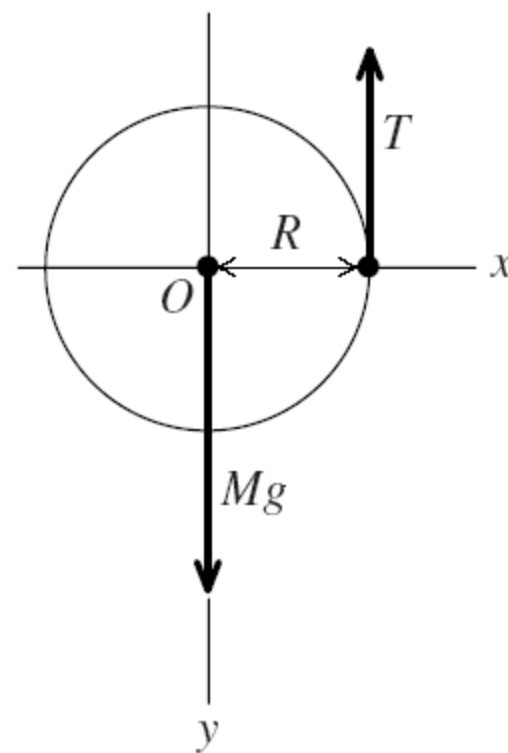


**Figura 10.17** O eixo da roda de uma bicicleta passa pelo centro de massa da roda e é um eixo de simetria. Portanto, a rotação da roda é descrita pela Equação (10.13), desde que a bicicleta não tombe lateralmente (o que faria alterar a orientação do eixo).

(a) O ioiô.

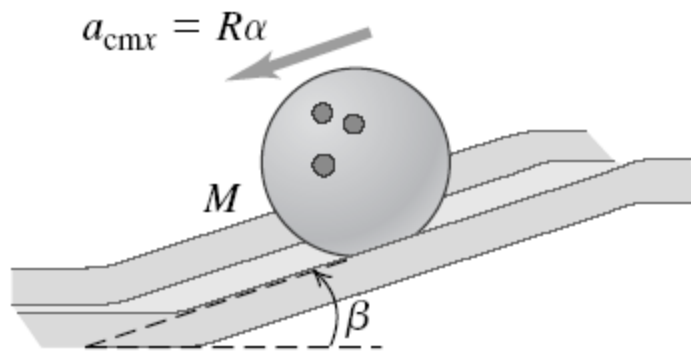


(b) Diagrama do corpo livre para o ioiô.

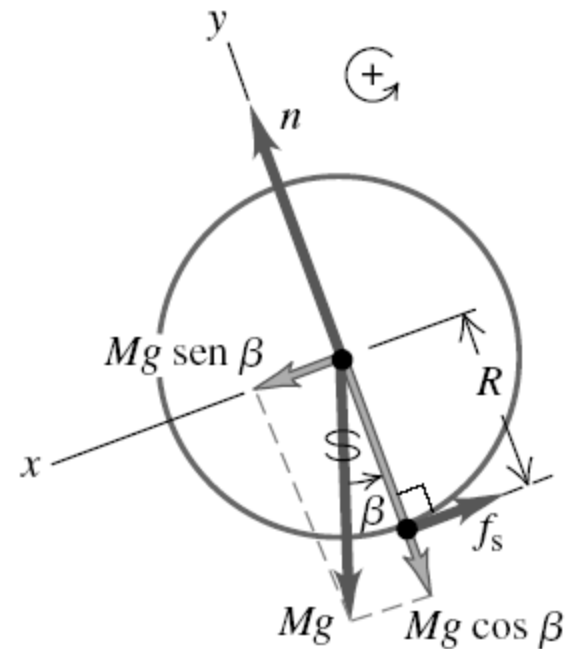


**Figura 10.18** Dinâmica de um ioiô primitivo (veja a Figura 10.15).

(a) A bola de boliche.

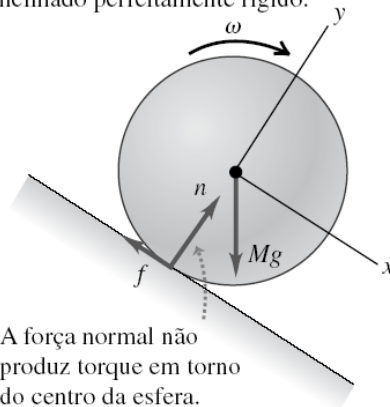


(b) Diagrama do corpo livre para a bola de boliche.



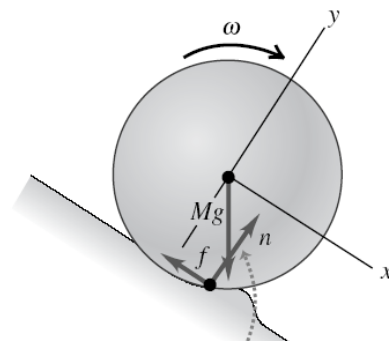
**Figura 10.19** Uma bola de boliche rolando para baixo de uma rampa.

(a) Uma esfera perfeitamente rígida rolando para baixo de um plano inclinado perfeitamente rígido.



A força normal não produz torque em torno do centro da esfera.

(b) Uma esfera rígida rolando sobre uma superfície deformada.



A força normal produz torque em torno do centro da esfera que é contrária ao sentido da rotação.

**Figura 10.20** Rolando para baixo (a) de uma superfície perfeitamente rígida e (b) de uma superfície deformada. A deformação no item (b) é exagerada.

**Trabalho realizado por um torque:** um torque que atua sobre um corpo rígido enquanto o corpo gira realiza trabalho sobre esse corpo. O trabalho pode ser expresso como uma integral do torque. Segundo o teorema do trabalho-energia, o trabalho rotacional total realizado sobre um corpo rígido é igual à variação da energia cinética na rotação. A potência, ou a taxa em que o torque realiza trabalho, é o produto do torque pela velocidade angular.

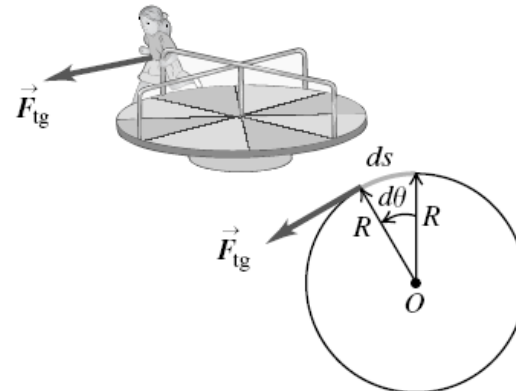
$$W = \int_{\theta_1}^{\theta_2} \tau_z d\theta$$

$$W = \tau_z(\theta_2 - \theta_1) = \tau_z \Delta\theta$$

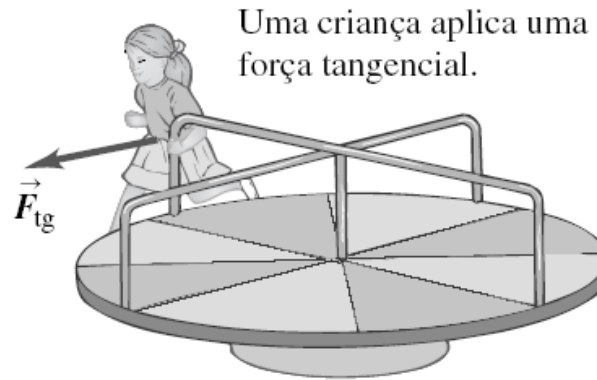
(somente torque constante)

$$W_{\text{tot}} = \frac{1}{2}I\omega_2^2 - \frac{1}{2}I\omega_1^2$$

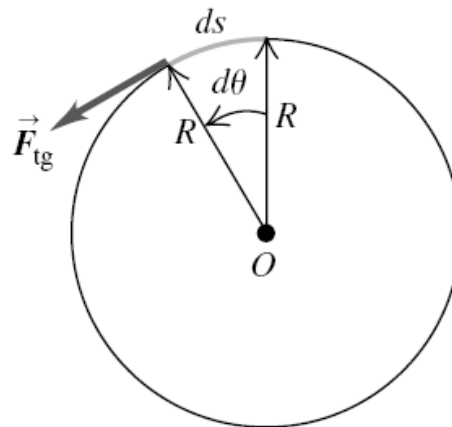
$$P = \tau_z\omega_z$$



(a)



(b) Vista do topo de um carrossel.



**Figura 10.21** Uma força tangencial atuando sobre um corpo que gira produz trabalho.



**Figura 10.22** A energia cinética de rotação de uma turbina eólica é igual ao trabalho total realizado para colocá-la em rotação.

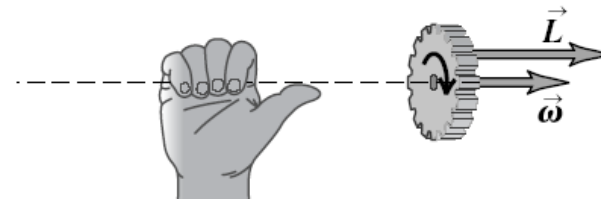
**Momento angular:** o momento angular de uma partícula em relação a um ponto  $O$  é o produto vetorial do vetor posição  $\vec{r}$  da partícula em relação a  $O$  pelo seu momento linear  $\vec{p} = m\vec{v}$ . Quando um corpo simétrico gira em torno de um eixo de simetria fixo, seu momento angular é dado pelo produto do seu momento de inércia pelo seu vetor velocidade angular  $\vec{\omega}$ . Quando um corpo não é simétrico ou o eixo de rotação ( $z$ ) não é um eixo de simetria, a componente do momento angular em torno do eixo de rotação é igual a  $I\omega_z$ .

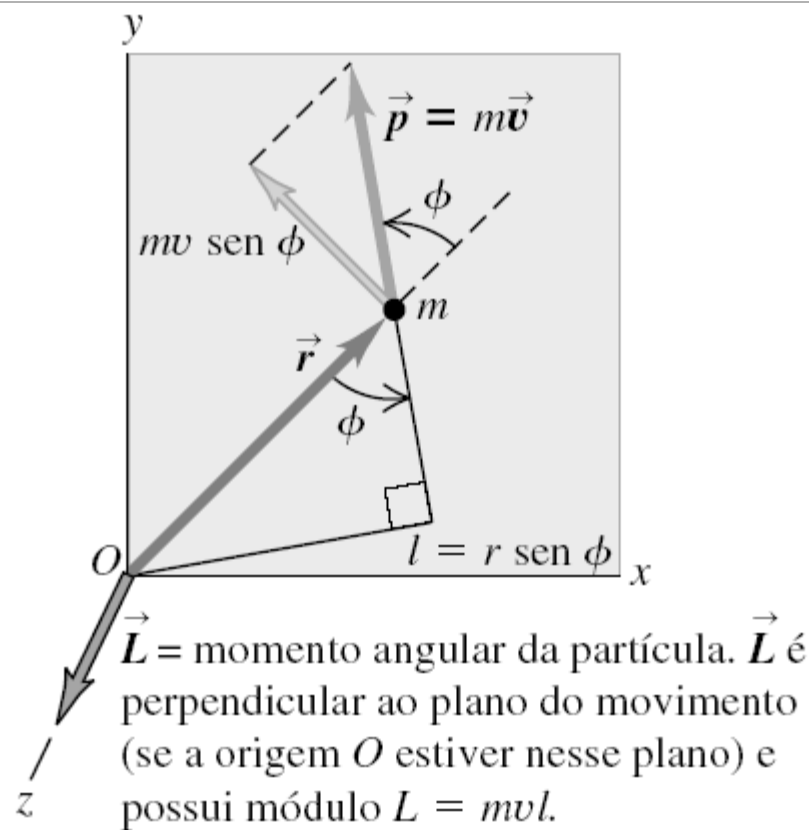
$$\vec{L} = \vec{r} \times \vec{p} = \vec{r} \times m\vec{v} \quad (10.24)$$

(partícula)

$$\vec{L} = I\vec{\omega} \quad (10.28)$$

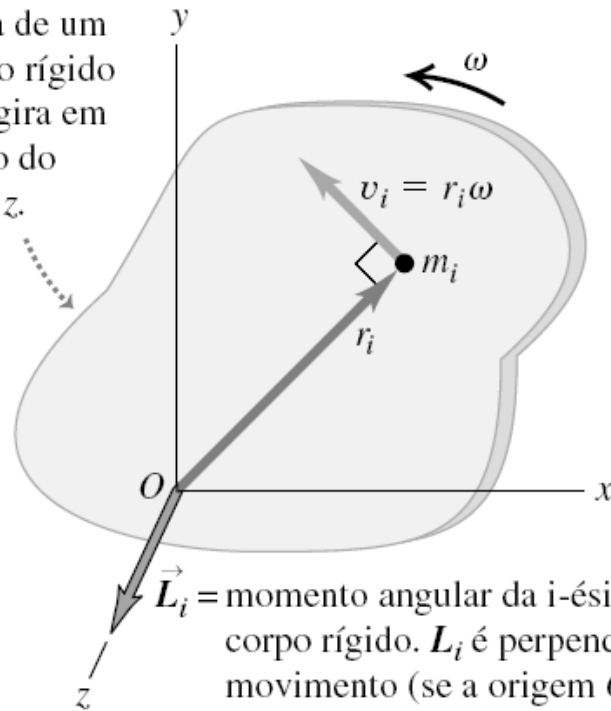
(corpo rígido girando em torno do eixo de simetria)





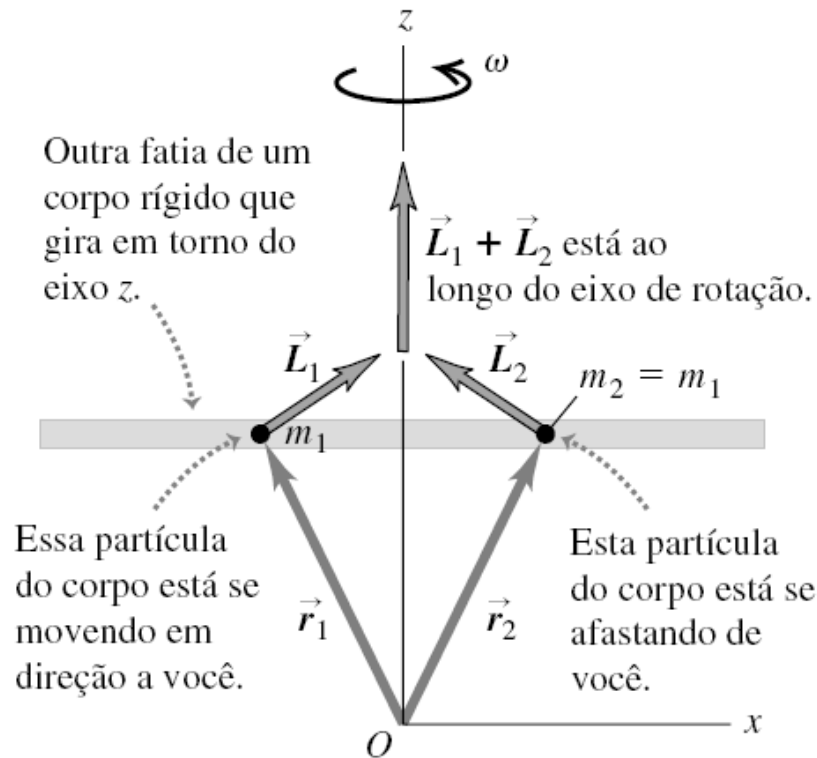
**Figura 10.23** Cálculo do momento angular  $\vec{L} = \vec{r} \times m\vec{v} = \vec{r} \times \vec{p}$  de uma partícula com massa  $m$  se movendo no plano  $xy$ .

Fatia de um corpo rígido que gira em torno do eixo  $z$ .

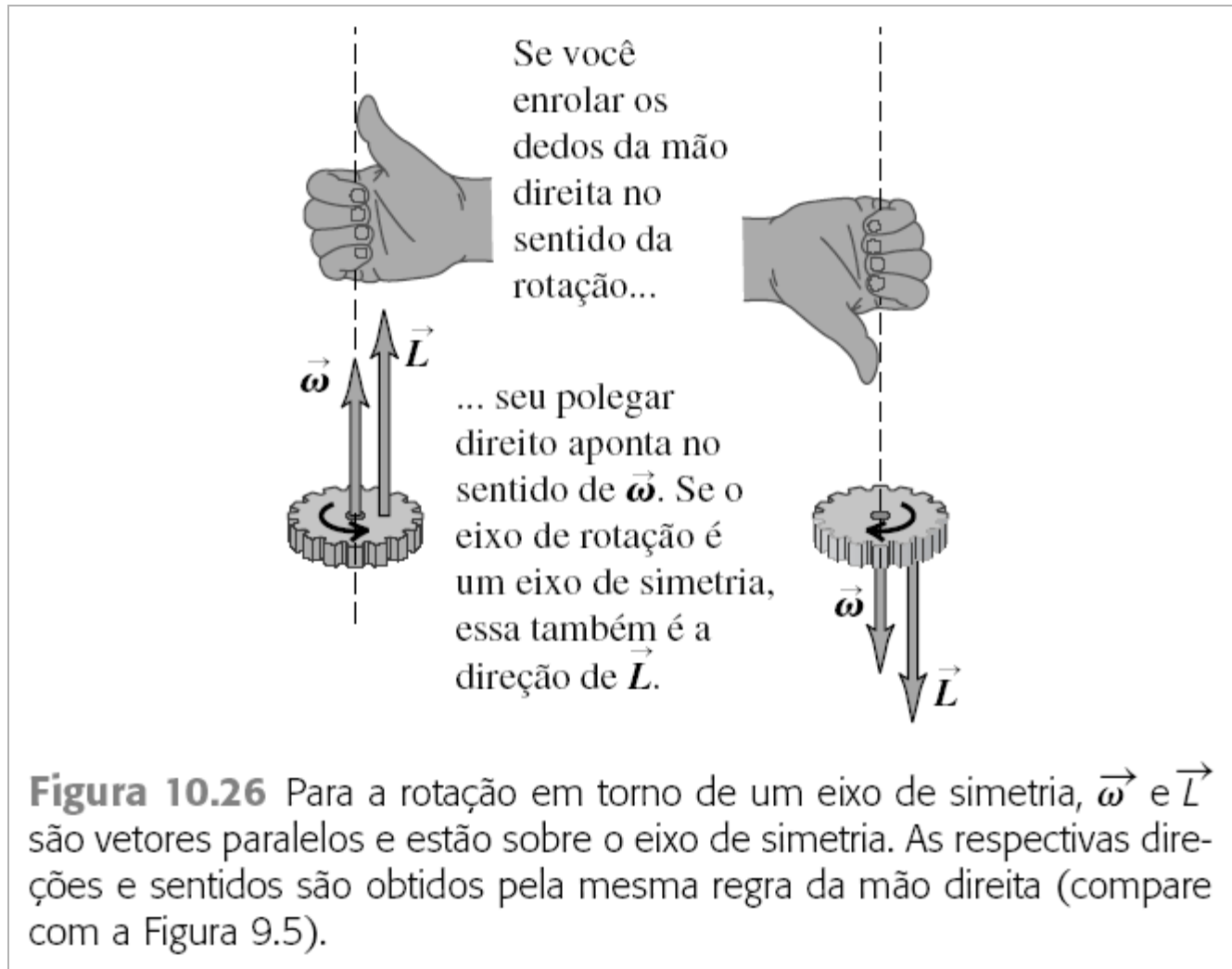


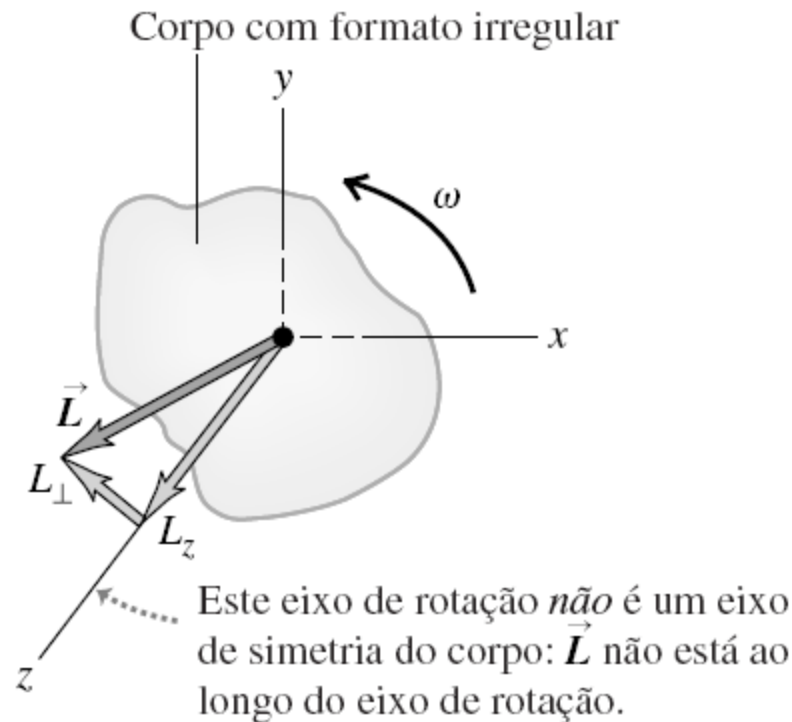
$\vec{L}_i$  = momento angular da  $i$ -ésima partícula de um corpo rígido.  $L_i$  é perpendicular ao plano do movimento (se a origem  $O$  estiver nesse plano) e possui módulo  $L_i = m_i v_i r_i = m_i r_i^2 \omega$ .

**Figura 10.24** Cálculo do momento angular de uma partícula de massa  $m_i$  em um corpo rígido girando a uma velocidade escalar angular  $\omega$ . (Compare com a Figura 10.23.)



**Figura 10.25** Duas partículas de mesma massa localizadas simetricamente de cada lado do eixo de rotação de um corpo rígido. Os momentos angulares  $\vec{L}_1$  e  $\vec{L}_2$  das partículas individuais não estão sobre o eixo de rotação, porém, a soma vetorial  $\vec{L}_1 + \vec{L}_2$  permanece ao longo desse eixo.

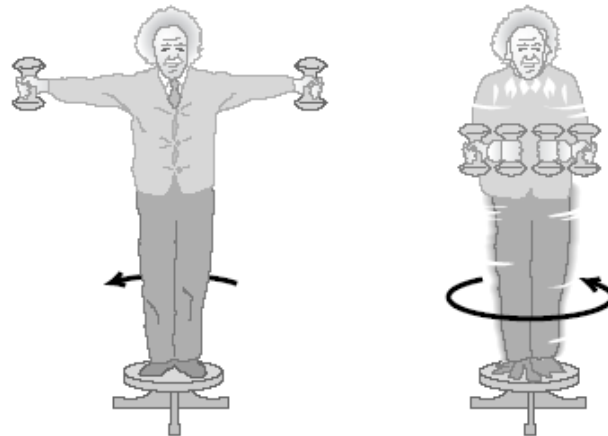


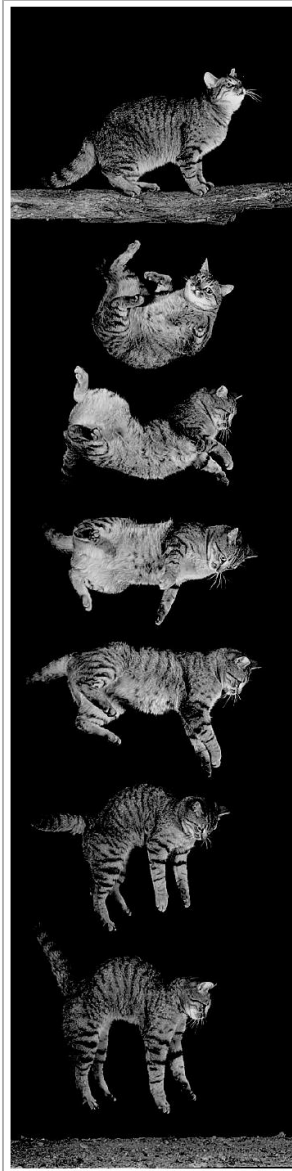


**Figura 10.27** Quando o eixo de rotação de um corpo rígido não é um eixo de simetria, o vetor momento angular  $\vec{L}$  não se encontra em geral ao longo do eixo de rotação. Mesmo quando  $\vec{\omega}$  é constante, a direção de  $\vec{L}$  pode variar, e torna-se necessário um torque externo para manter a rotação.

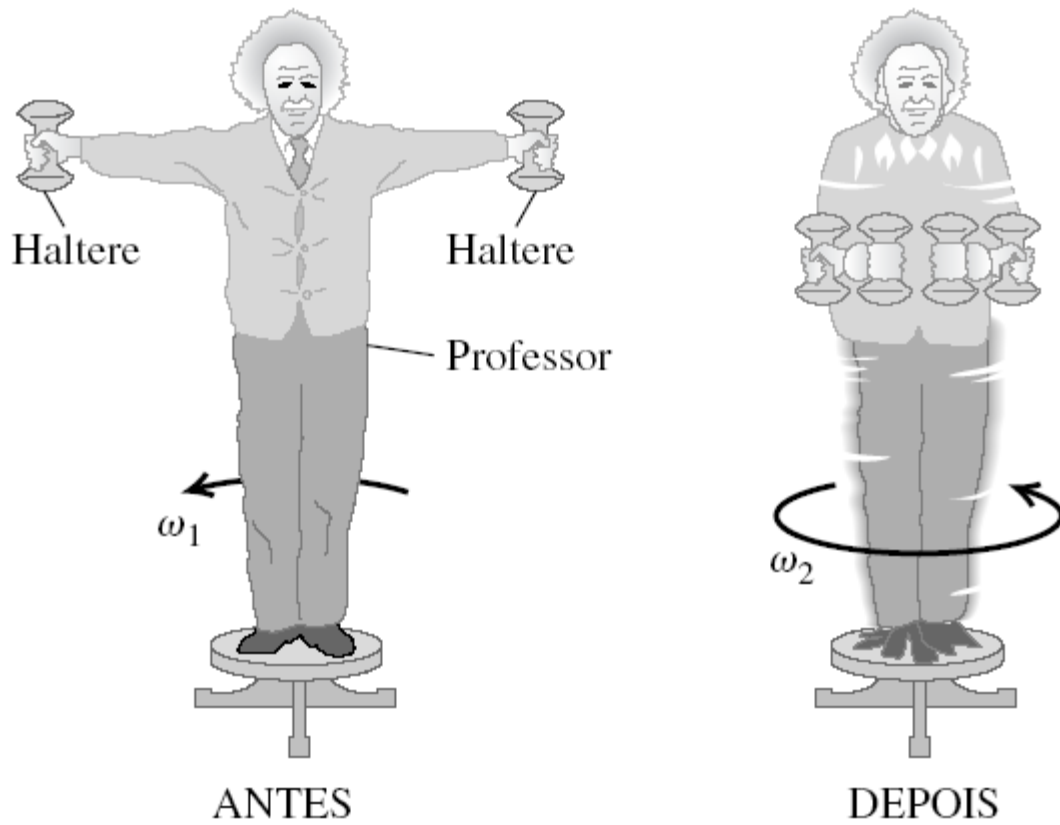
**Relação entre a dinâmica do movimento de rotação e o momento angular:** o torque resultante externo que atua sobre um sistema é igual à taxa de variação do seu momento angular. Quando o torque resultante externo que atua sobre um sistema é igual a zero, o momento angular total do sistema é constante (se conserva).

$$\sum \vec{\tau} = \frac{d\vec{L}}{dt} \quad (10.29)$$





**Figura 10.28** Um gato em queda produz torção em diversas partes de seu corpo e em diferentes direções, de modo que ele cai em pé. Em todas as etapas durante a queda o momento angular do gato como um todo permanece constante.



**Figura 10.29** Divertimento com a conservação do momento angular.

